

## کانی شناسی، زمین شیمی و الگوی تشکیل ذخیره مس پرداد با نگرشی ویژه بر بررسی‌های ایزوتوپی

سعید مشتاق، کمال سیاه چشم<sup>\*</sup>، محمدرضا حسین زاده

گروه علوم زمین، دانشکده علوم طبیعی، دانشگاه تبریز، تبریز، ایران

(دريافت مقاله: ۱۴۰۳/۳/۲۳، نسخه نهایی: ۱۴۰۳/۵/۲۷)

**چکیده:** ذخیره مس پرداد به عنوان بخشی از نوار ماغمای اوسن داورزن - عباس آباد، در لبه شمال شرقی پهنه ساختاری ایران مرکزی واقع است. کانی‌سازی مس در منطقه به صورت رگه-رگچه‌ای، پرکننده فضاهای خالی، دانه پراکنده، جانشینی و به حالت داربستی (برش‌های گرمابی)، بیشتر در سنگ‌های آتشفسانی شامل بورنیت، کالکوسیت، کالکوپیریت، کولولیت، مالاکیت، آزوریت و مس طبیعی (به مقدار کم) صورت گرفته است. سنگ میزان از مناطق قوس‌های آتشفسانی با ترکیب آهکی قلیایی بوده و با غنی‌شدگی از عناصر سنگ دوست درشت یون (LILE: Cs, Rb, K, Sr)، نسبت به عناصر با شدت میدان بالا (HFSE: Nb, Ti, Y, Ce, Zr)، و عناصر خاکی نادر سبک (LREE) نسبت به عناصر خاکی نادر سنگین (HREE) مشخص می‌شود. مقادیر منفی  $\delta^{34}\text{S}$  (بین -۱۰/۱ تا -۱۲/۷) در هزار) نمونه‌های کالکوسیت، بیانگر فرآیند احیایی باکتریایی است. ایزوتوپ‌های کربن  $\delta^{13}\text{C}$  (بین -۹/۰۶ تا -۹/۵۷) هستند. ذخیره مس پرداد براساس ویژگی‌های کانی‌شناسی، سنگ‌شناسی، ساخت و بافت کانه‌زایی دارای مقادیر منفی -۹/۰۶ تا -۹/۵۷ هستند. ذخیره مس پرداد براساس ویژگی‌های کانی‌شناسی، سنگ‌شناسی، ساخت و بافت ماده معدنی، همیززادی کانیایی و داده‌های برآمده از بررسی ایزوتوپ پایدار، شبیه ذخایر نوع مانتو در شیلی در نظر گرفته می‌شود.

**واژه‌های کلیدی:** مس پرداد؛ کمرنند ماغمایی داورزن- عباس آباد؛ نوع مانتو؛  $\delta^{34}\text{S}$ ؛  $\delta^{13}\text{C}$ ؛ احیایی باکتریایی؛ عناصر سنگ دوست درشت یون؛ عناصر با شدت میدان بالا؛ مدل زیشی.

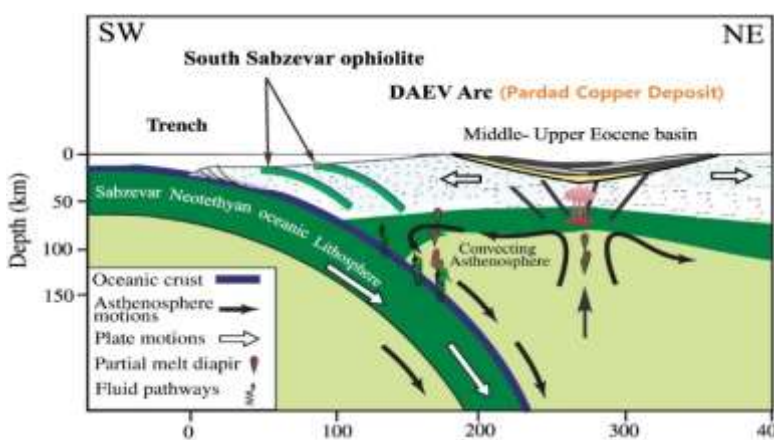
نتیجه آن ایجاد نوار آتشفسانی عباس آباد-کاهک در جنوب نوار افیولیتی سبزوار و لبه شمال شرقی ایران مرکزی است، سنگ‌های آتشفسانی اوسن در نوار آتشفسانی عباس آباد-داورزن در یک محیط کششی درون کمانی نهشته شده‌اند، که این نوار ماغمایی نتیجه فرورانش پوسته اقیانوسی نئوتیسیس سبزوار به زیر البرز شرقی بوده است [۲] (شکل ۱). گسترش کانه‌زایی فلزی (مس، منگنز، کرومیت) در منطقه شاهروド - سبزوار از دیربار، کانون توجه بسیاری از زمین‌شناسان برای اهداف اکتشافی و استخراجی بوده است. از مهمترین کانسارهای این منطقه می‌توان به معادن مس عباس آباد شامل معدن بزرگ

### مقدمه

زیرپهنه سبزوار بین دو گسل بزرگ درونه در جنوب و گسل بینالود در شمال واقع است. این زیرپهنه از شمال با زیرپهنه بینالود و از جنوب با زیر پهنه قطعه لوت در ارتباط است که این ارتباط زمین‌ساختی و گسله گزارش شده است [۱]. پهنه ایران مرکزی در بخش شمال شرق دارای ترکیب عمومی از واحدهای افیولیتی پهنه برخورد قاره، تشکیلات رسوی-آتشفسانی جلوقوس و فعالیت‌های ماغمایی با نفوذ گنبدهای شبه آتشفسانی و نفوذی است. در دوران ترشیری در پهنه ساختاری ایران مرکزی، فعالیت‌های ماغمایی بسیاری انجام شده که

\*نویسنده مسئول، تلفن: ۰۹۱۴۰۰۴۶۸۵، پست الکترونیکی: kl\_siahcheshm@tabrizu.ac.ir





شکل ۱ طرحواره‌ای از نوار آتشفسانی ائوسن داورزن-عباس‌آباد (DAEV) [۲]. ذخایر مس منطقه از جمله گستره مورد بررسی (ذخیره مس پرداد) بخشی از این پهنه ماقمایی هستند.

دوچشمی جداسازی دستی شده و سپس تا اندازه ۲۰۰ مم در هاون عقیق پودر شدند و حدود ۵ گرم نمونه با خلوص بهتر از ۹۹ درصد به آزمایشگاه ارسال شد. طی آماده‌سازی نمونه‌ها، از سوزاندن پودر کانی سولفیدی در حضور مواد اکساینده برای تهیه گاز  $\text{SO}_2$  و واکنش کربنات با اسید فسفریک در دمای ۷۰°C برای ۲۴ ساعت به منظور تهیه  $\text{CO}_2$  انجام شد. اندازه-گیری ایزوتوب‌های پایدار کربن ( $\delta^{13}\text{C}$ ) و اکسیژن ( $\delta^{18}\text{O}$ ) نسبت به استاندارد میانگین آب اقیانوس (SMOW) و گوگرد نسبت به استاندارد احتراق زدایی ترکیبی (CDT) با طیف‌سنج جرمی نسبت ایزوتوبی مدل ISOPRIME100 انجام شد. داده‌ها براساس در هزار (‰) و دقت تجزیه در حد  $\pm 0.1$  هزار هستند.

#### زمین‌شناسی منطقه

منطقه معنی مس پرداد در ۱۶۰ کیلومتری شرق شاهرود در استان سمنان واقع است. منطقه مورد بررسی، به عنوان بخشی از نوار ماقمایی ائوسن داورزن - عباس‌آباد، در لبه شمال شرقی پهنه ساختاری ایران مرکزی قرار دارد. از نظر ساختاری، ذخیره پرداد درون تاقدیس کاهک با روند شرقی-غربی، است (شکل ۲). هسته این تاقدیس از گدازه‌های تراکی آندزیتی خاکستری تیره تشکیل شده است. گسل‌های راستالغاز موجب حذف کلی یا بخشی از واحدهای سازند تاقدیس شده و از سویی، زمین‌ساخت فعال سبب تزریق دایک‌های فراوان موازی با گسل در هسته تاقدیس کاهک شده است. در میان هسته تاقدیس، زائده کوچکی از سنگ‌های نفوذی (مونزونیت تا مونزودیوریت) جای دارد. براساس نقشه زمین‌شناسی ۱:۲۵۰۰۰ منطقه، واحدهای رخنمون یافته در سطح شامل واحدهای آتشفسانی-نیمه نفوذی، واحدهای رسوبی و رسوب‌های عهد حاضر هستند

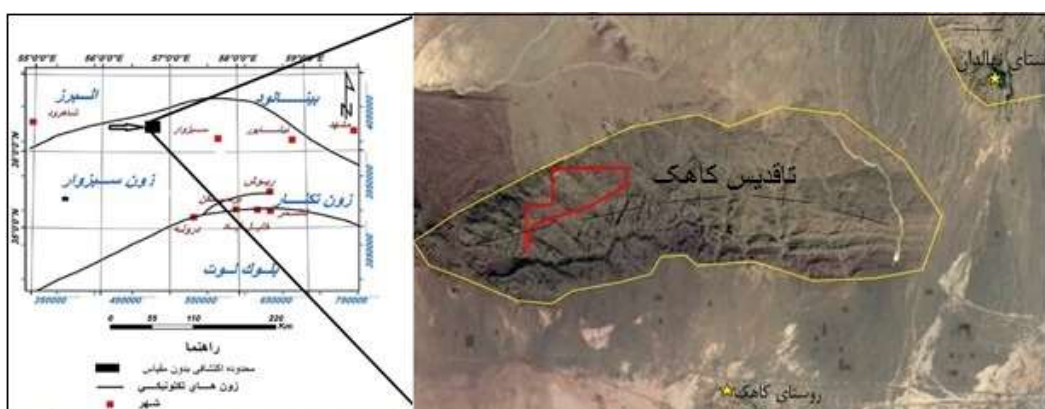
[۳]، چغندرسر [۴]، مس زواک [۵]، پل ابریشم [۶]، و آسمانو [۷] اشاره کرد. با توجه به گستردگی فعالیت آتشفسانی ائوسن در منطقه و تشکیل این ذخایر در بالاترین ردیف آتشفسانی ائوسن، آنها با عنوانین گوناگونی چون نوع مانتو [۸، ۹]، رگه‌ای و گرمایی [۱۰] و کمتر سولفیدتوده ای [۱۱] معرفی شده‌اند. بررسی و تعیین دقیق مدل کانی سازی این نوع ذخایر می‌تواند چشم‌انداز نوینی برای پی‌جویی و بهره‌برداری منابع جدید مس در منطقه داشته باشد. در این پژوهش، نوع کانه‌زایی ذخیره مس پرداد بر اساس جنبه‌های کانی‌شناسی، زمین‌شیمی، سنگ‌شناسی سنگ میزبان و همچنین شکل کانه‌زایی و ترکیب ایزوتوبی سولفیدی و کربناتی آن شناسایی شده است.

#### روش بررسی

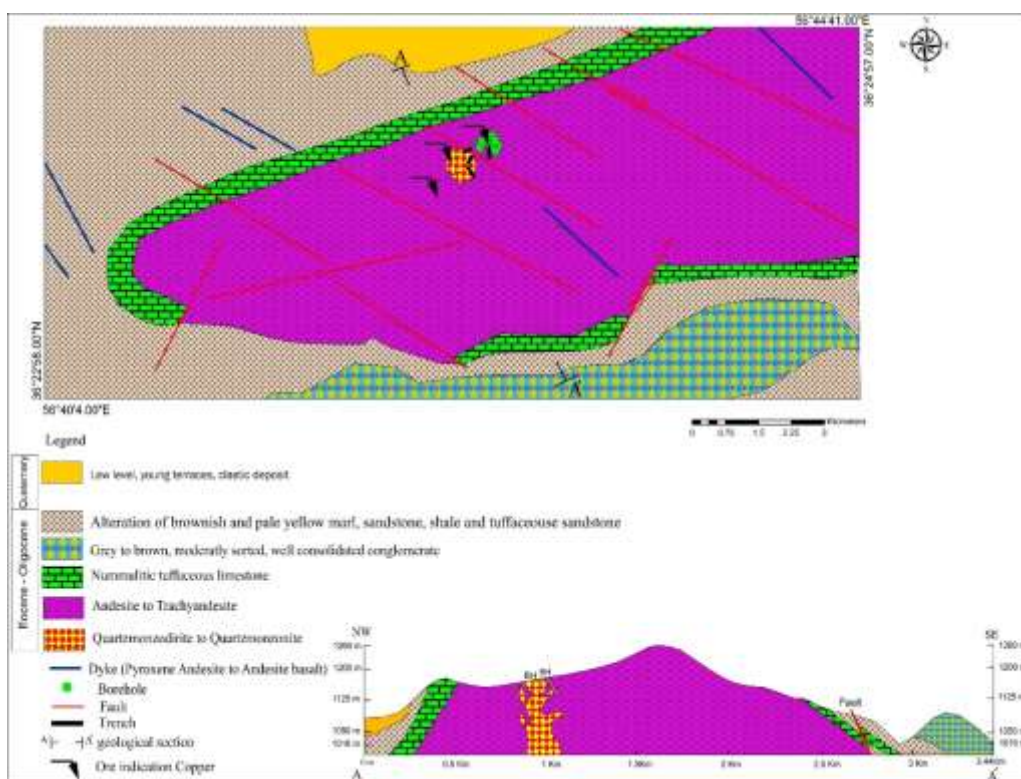
این پژوهش بر پایه بازدیدهای صحرایی و نمونه برداری از واحدهای سنگی منطقه برای اهداف آزمایشگاهی استوار است. بررسی‌های سنگ‌شناسی و کانه‌نگاری بر روی مقاطع میکروسکوپی تهیه شده از بین ۱۱۰ نمونه منتخب (مغزه حفاری و سطحی) انجام شد. برای انجام بررسی‌های زمین-شیمیایی، تعداد ۳۳ نمونه از سنگ میزبان (سنگ‌های آتشفسانی و نفوذی) به روش‌های طیف‌سنجی فلئورسانس پرتوی X (XRF) و طیف‌سنجی جرمی پلاسمای جفت شده (ICP-MS) در آزمایشگاه کانسaran بینالود تجزیه گردیدند برای تعیین خاستگاه گوگرد و کربن در سیال کانه ساز ذخیره پرداد، ۸ عدد نمونه کالکوسویت ( $\pm$ بورنیت) و ۴ نمونه از کلسیت در آزمایشگاه تحقیقاتی ایزوتوب‌های پایدار دانشگاه اراک آزمایش ایزوتوبی شدند. نمونه‌ها در حدی خرد شدند که کانی‌های سولفیدی از هم و از کانی باطله جدا شوند سپس کانی‌های سولفیدی بصورت جدایش در زیر میکروسکوپ

راستالغز و شیب لغز تشکیل شوند [۱۲] و موقعیت هندسی فضایی شکستگی‌ها و ارتباط آن‌ها با هم بر نفوذپذیری محیط اثر بگذارند [۱۳]. حضور توده نیمه نفوذی در منطقه مس پرداد و حرکت آن به سوی سطح زمین باعث ایجاد فشارش همه جانبه پیرامون خود (سنگ‌های آندزیتی) شده که این فشارش در هم راستاها، تنفس اصلی است. عمود بر راستای تنفس اصلی، کشنش وجود دارد و بازدگی‌های ناشی از آن محل مناسب برای عبور جریان سیال و رگه‌های کانه‌زایی بوده‌اند.

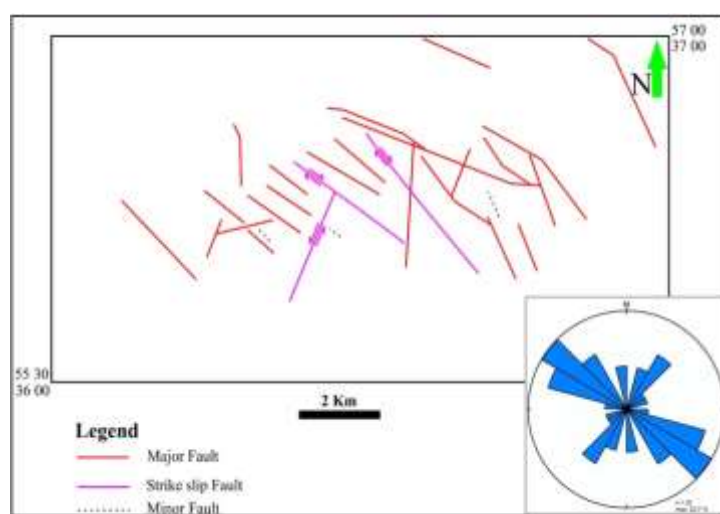
(شکل ۳). دو روند اصلی برای گسل‌ها در منطقه قابل تشخیص است؛ دسته نخست گسل‌های راندگی با روند عمومی شمال غرب-جنوب شرق (N102-176) هستند که بیشترین اثر را بر حالت ریخت‌شناسی منطقه دارند. گروه دوم گسل‌های راستالغز با روند شمالی-جنوبی و شمال شرق-جنوب غرب (N18-60) هستند (شکل ۴). عدمه روندهای کانه‌زایی نیز شمالی-جنوبی تا (N110-177) هستند. فشار زیاد سیال می‌تواند سبب گسل‌ش و شکستگی شود، پهنه‌های آسیب دیده با ویژگی‌های نفوذپذیری خود می‌توانند پیرامون انواع گسل‌های



شکل ۲ منطقه مس پرداد در تاقدیس کاهک به عنوان بخشی از نوار ماغماتی آتشفشاری سبزوار-شاہرود



شکل ۳ نقشه زمین‌شناسی ساده شده ۱:۲۵۰۰۰ ذخیره مس پرداد.

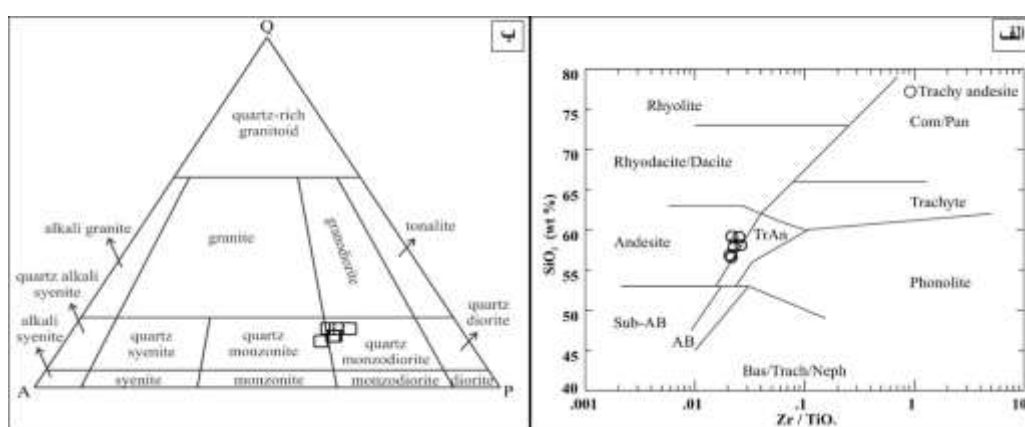


شکل ۴ نقشه گسل‌های منطقه براساس برداشت‌های صحرایی و نمودار گل سرخی عناصر اصلی ساختاری منطقه.

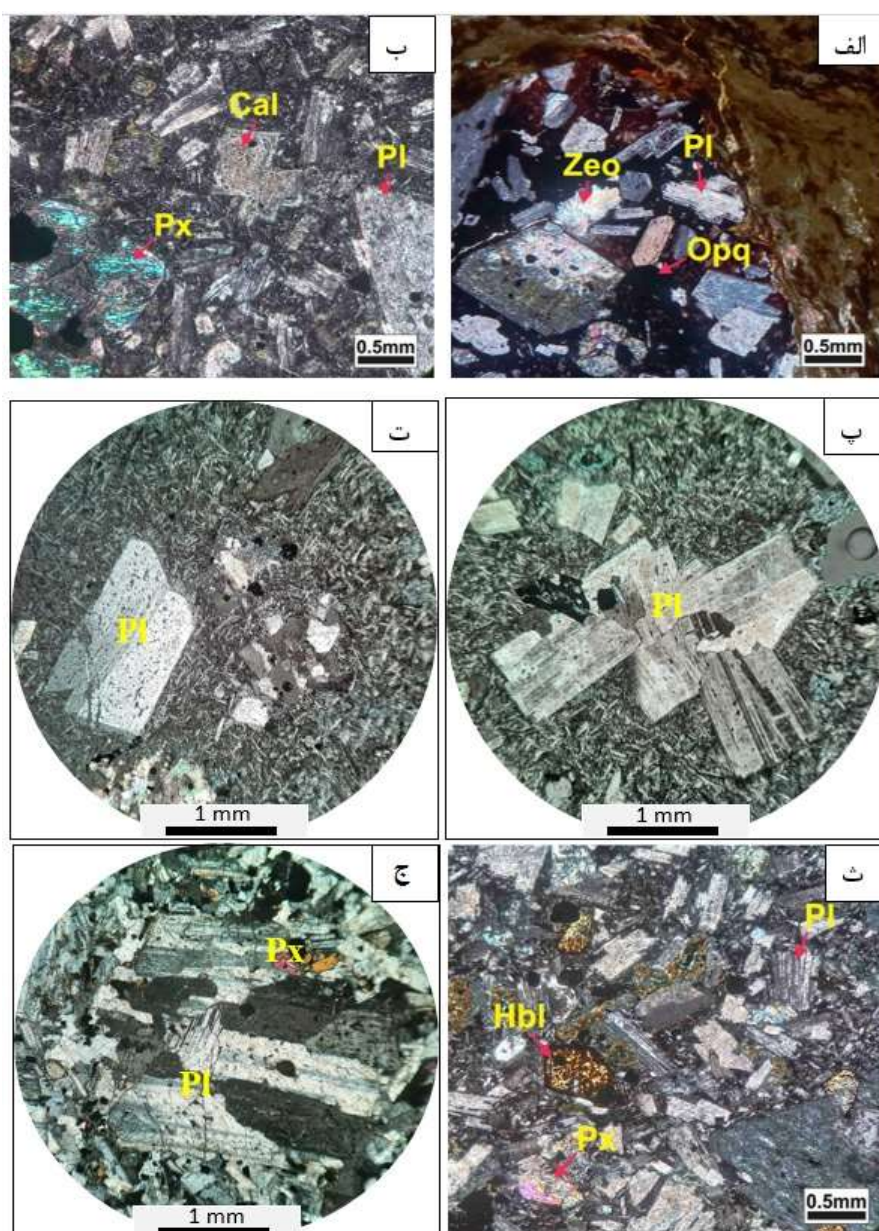
نهان بلورین شامل از کوارتز و فلدسپار پتاسیم قرار داردند. کانی‌های فرعی شامل بیوتیت، زیرکن، آپاتیت و کانی تیره هستند. پلاژیوکلاز ۱۵ تا ۳۵ درصد حجمی سنگ را تشکیل می‌دهد و اندازه آن بین ۰۳ تا ۰۴ میلیمتر متغیر است. این کانی در بخش‌هایی به کربنات کلسیم تجزیه شده است (شکل ۶ ب)، کانی پیروکسن در این سنگ‌ها به مقدار کمتر از ۳ درصد با اندازه ۰/۲ تا ۰/۵ میلی متر دیده می‌شوند که گاهی به اکسیدهای آهن، کلریت و کربنات کلسیم تبدیل شده است. مگنتیت در بعضی مقاطع به صورت درشت بلور (۱ تا ۲ درصد حجمی) و به اندازه ۰/۲ تا ۰/۴ میلی متر در زمینه دیده می‌شود. سنگ‌های آتشفشاری منطقه شامل بافت‌های پورفیری، گلومرپورفیری، ریزسنگی پورفیری، شیشه پورفیری و در بعضی بخش‌ها در زمینه، دارای بافت جریانی و ریزسنگی هستند (شکل‌های ۶ پ و ت).

#### کانی شناسی و زمین شیمی سنگ میزبان واحدهای آتشفشاری

بر اساس بازدیدهای صحرایی و نمودارگیری مغزه‌های حفاری، واحد سنگ‌شناسی عمدۀ شامل سنگ‌های آتشفشاری بزرگ با ضخامت ۶۰۰ تا ۸۰۰ متر و راستای ۳۰۰-۲۹۰ درجه (شمال غرب-جنوب شرق) است و تا حدود ۵ کیلومتر گستردۀ شده‌اند. سنگ‌های آتشفشاری منطقه دارای ترکیب آندزیت تا تراکی آندزیت، پیروکسن آندزیت، آندزیت بازالت به همراه توف با بش آتشفشاری هستند. بر اساس نمودارهای زمین شیمی، سنگ‌های آتشفشاری منطقه در گستره آندزیت تا تراکی آندزیت قرار دارند (شکل ۵ الف). در این سنگ‌ها، حفره‌های آدامکی با بلورهای ثانویه کانی زئولیت با بافت شعاعی پر شده‌اند (شکل ۶ الف). از دیدگاه سنگ‌نگاری، در این سنگ‌های شبه آتشفشاری حدواسط، پلاژیوکلاز سدیمی با منطقه‌بندی ترکیبی و کوارتز نیمه شکل‌دار تا بی‌شکل در خمیره ریز بلور تا



شکل ۵ (الف) موقعیت نمونه‌ها در نمودار  $\text{SiO}_2$  نسبت به  $\text{Zr}/\text{TiO}_2$  [۱۴]، (ب) موقعیت نمونه‌های مربوط به توده نفوذی (نیمه عمیق) در نمودار اشتراکایزن [۱۵].



شکل ۶ تصاویر میکروسکوپی سنگ‌های آتشفشاری و نیمه نفوذی منطقه پرداد: (الف) درشت بلورهای پلازیوکلارز (Pl)، زئولیت (zeo) و کانی کدر در سنگ آندزیت، (ب) بلورهای پیروکسن (Px) و پلازیوکلارز (Pl) در آندزیت، (پ) بافت گلوموروپورفیری، (ت) درشت بلور پلازیوکلارز (Pl) و ایجاد بافت پورفیری در زمینه ریزنگی، (ث) درشت بلورهای پلازیوکلارز (Pl)، پیروکسن (Px) و هورنبلند در سنگ نیمه نفوذی کوارتز-مونزونیت، (ج) بافت دانه‌ای و دگرسانی سریسیتی در سنگ کوارتز-مونزودیوریت.

های ثانویه از جمله سریسیت و کربنات در حال جانشینی هستند و بافت غربالی ایجاد شده است. پیروکسن با فراوانی کمتر از ۵ تا ۷ درصد و اندازه ۰/۵ تا ۰/۲ میلیمتر دیده می‌گردد (شکل‌های ۶ و ج). هورنبلند های شکلدار تا نیمه شکلدار کمتر از ۲ تا ۳ درصد حجم کل سنگ را تشکیل می‌دهند و اغلب تا حدود بیش از ۸۰ درصد آن‌ها کدر شده و گاهی فضاهای ایجاد شده با کربنات کلسیم پر شده‌اند. کانی-

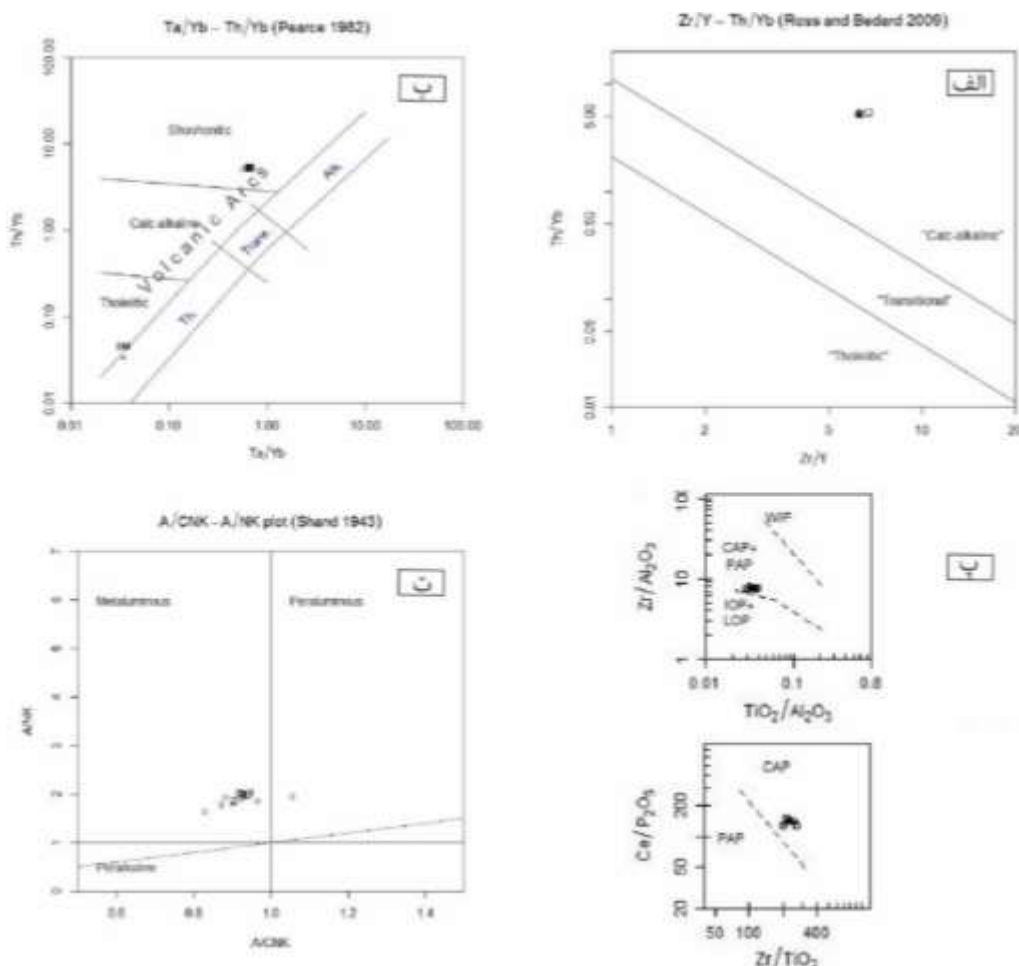
#### واحد نیمه نفوذی

سنگ‌های نیمه نفوذی به صورت زائدۀ‌های کوچک میان سنگ‌های آتشفشاری رخنمون دارند و در بخش‌های شمال منطقه بیشتر در اعماق کم (۱۰ تا ۴۰ متر) درون مغزه‌های حفاری دیده می‌شوند (گمانه‌های BH1، BH6 و BH7). بر پایه تجزیه مدلal و نتایج زمین‌شیمی، ترکیب آنها کوارتز-مونزونیت تا کوارتز-مونزودیوریت است (شکل ۵ ب). پلازیوکلارها با کانی-

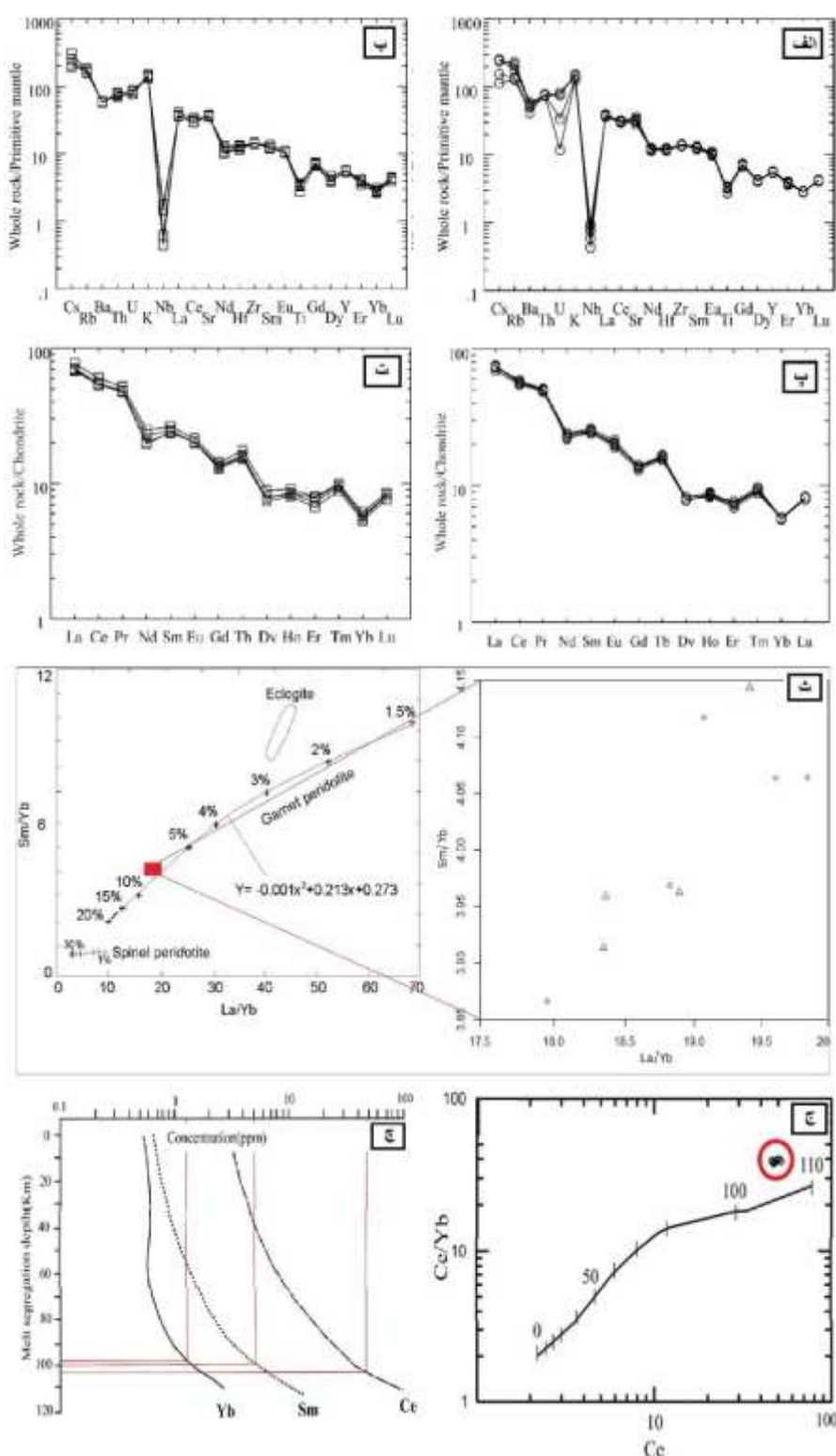
می‌شوند (شکل‌های ۸ الف و ب). برای تفکیک قوس‌های ماقمایی کرانه فعال قاره‌ای و قوس‌های ماقمایی پس از برخورد Ce/P<sub>2</sub>O<sub>5</sub>-Zr/Al<sub>2</sub>O<sub>3</sub>-TiO<sub>2</sub>/Al<sub>2</sub>O<sub>3</sub> نیز از نمودارهای Zr/Al<sub>2</sub>O<sub>3</sub>-TiO<sub>2</sub>/Al<sub>2</sub>O<sub>3</sub> Ce/P<sub>2</sub>O<sub>5</sub>-Zr/TiO<sub>2</sub> استفاده شد (شکل ۷ پ). بر پایه نمودار Zr/TiO<sub>2</sub> [۱۸] استفاده شد (شکل ۷ پ). بر پایه نمودار Zr/Al<sub>2</sub>O<sub>3</sub>-TiO<sub>2</sub>/Al<sub>2</sub>O<sub>3</sub>، نمونه‌های نفوذی منطقه در گستره قوس‌های کرانه فعال قاره‌ای (CAP) و قوس‌های پس از برخورد (PAP) واقع شده‌اند و براساس در نمودار Zr/TiO<sub>2</sub>، نمونه‌ها در گستره قوس‌های پس از برخورد قرار دارند. نمونه‌ها از نظر درجه اشباعی از آلومین در گستره متاآلومین و یک نمونه در گستره پرآلومین قرار گرفتند [۱۹] (شکل ۷ ت).

های ثانویه از جمله اپیدوت و کلریت به صورت پراکنده در اثر دگرسانی پروپیلیتی تشکیل شده‌اند. بافت سنگ ریزسنگی پورفیری تا دانه‌ای است (شکل ۶ ج).

بر پایه نمودارهای Zr/Yb نسبت به Th/Yb [۱۶] و Ta/Yb نسبت به Th/Yb [۱۷]، نمونه‌ها در گستره آهکی قلیایی با پتاسیم بالا و شوشوئیتی واقع هستند (شکل‌های ۷ الف و ب). بر این اساس می‌توان گفت که ماقمای مولد این سنگ‌ها دارای سرشت شوشوئیتی و آهکی قلیایی با پتاسیم بالا بوده و سری شوشوئیتی در این منطقه غالب است. برای تعیین محیط زمین-ساختی این مجموعه سنگی، از نمودارهای Zr/Y - Th/Yb [۱۶] و Ta/Yb [۱۷] نسبت به Th/Yb در این نمودارها نمونه‌ها در گستره قوس‌های آتشفسانی جایابی



شکل ۷ نمودارهای طیف ترکیبی، سری ماقمایی و محیط زمین‌ساختی سنگ‌های منطقه: الف) نمودار Zr/Y - Th/Yb نسبت به Th/Yb [۱۶]، ب) موقعیت نمونه‌ها در نمودار Ta/Yb نسبت به Th/Yb [۱۷]. پ) نمودارهای Zr/Al<sub>2</sub>O<sub>3</sub>-Zr/TiO<sub>2</sub> و Zr/Al<sub>2</sub>O<sub>3</sub>-TiO<sub>2</sub>/Al<sub>2</sub>O<sub>3</sub> برای تفکیک قوس‌های ماقمایی کرانه فعال قاره‌ای و قوس‌های ماقمایی پس از برخورد (WIP) موقعیت درون صفحه‌ای، CAP: قوس کرانه‌های فعال قاره‌ای، PAP: قوس کرانه‌های پس از برخورد، IOP: قوس اقیانوسی آغازین، LOP: قوس اقیانوسی تأخیری [۱۸] و ت) موقعیت سنگ‌های منطقه در نمودار دوتایی [۱۹] Al<sub>2</sub>O<sub>3</sub>/CaO + Na<sub>2</sub>O + K<sub>2</sub>O (Al<sub>2</sub>O<sub>3</sub>/Na<sub>2</sub>O + K<sub>2</sub>O).



شکل ۸ ا) و ب) نمودار عنکبوتی عناصر کمیاب بهنجار شده نسبت به گوشته اولیه [۲۰] به ترتیب برای سنگ‌های آتشفشاری و سنگ‌های نیمه نفوذی منطقه، پ) نمودار عنکبوتی عناصر خاکی نادر بهنجار شده نسبت به کندریت [۲۰] برای به سنگ‌های آتشفشاری، ت) نمودار عنکبوتی عناصر خاکی نادر بهنجار شده نسبت به کندریت [۲۰] برای سنگ‌های نیمه نفوذی، ث) نمودار La/Yb نسبت به Sm/Yb برای تعیین درجه ذوب بخشی و سنگ خاستگاه [۲۱]، ج) موقعیت نمونه‌ها در نمودار Ce/Yb نسبت به Ce/Yb [۲۲]، چ) نمودار تمرکز میانگین عناصر Ce, Ce و Sm/Yb نسبت به عمق جدايش [۲۲].

کانی‌سازی در سنگ‌های آتشفسنای منطقه صورت گرفته و شامل بورنیت، کالکوسیت، کالکوپیریت (به مقدار کم)، کوولیت، مالاکیت، آزوریت و مس طبیعی (به مقدار کم) است. کانی-سازی مس در منطقه اغلب به صورت رگه-رگچه‌ای و پرکننده فضاهای خالی، و تا حدی دانه پراکنده، جانشینی و گاهی به حالت داربستی (برش‌های گرمایی) صورت گرفته است. ضخامت رگه-رگچه‌ها از حدود ۲ میلیمتر تا ۳ سانتیمتر متغیر است (شکل ۹ الف). کالکوسیت فراوان‌ترین و اصلی‌ترین کانه سولفید مس در ذخیره مس پرداد است. کالکوسیت به صورت کانه اولیه در راستای شکستگی‌ها به صورت رگه-رگچه‌ای و دانه پراکنده (شکل ۹ ب) و بخشی نیز به صورت ثانویه همراه با بورنیت، کالکوپیریت و پیریت تشکیل شده است. کالکوسیت ثانویه در اثر فرآیندهای برونزایی از کانه‌های سولفیدی اولیه چون بورنیت و کالکوپیریت به صورت جانشینی شکل گرفته است. بورنیت به صورت اولیه و در راستای شکستگی تشکیل شده و از لبه و محل شکستگی‌ها با کانی‌های ثانویه از جمله کالکوسیت در حال جانشینی است (شکل ۹ ت). کالکوپیریت در نمونه مغزه‌های حفاری و بررسی‌های میکروسکوپی ذخیره مس پرداد به ندرت دیده می‌شود. این کانی به صورت اولیه و در راستای شکستگی‌ها تشکیل شده و از لبه و محل شکستگی‌ها با کانی‌های ثانویه از جمله کالکوسیت، بورنیت و گوتیت در حال جانشینی است (شکل ۹ پ). مقدار پیریت در واحدهای منطقه بسیار کم است، پیریت به صورت نیمه شکل‌دار تا بی شکل منفرد با اندازه ۰۰۱ تا ۰۰۵ میلی‌متر دیده می‌شود. در مقاطع، پیریت با کانی‌های بورنیت و کالکوسیت جانشین شده است (شکل ۹ ت). کوولیت در مرحله ثانویه و به صورت جانشینی و بی شکل در همراهی با کانه‌های بورنیت و کالکوسیت دیده می‌شود (شکل ۹ ث). مالاکیت فراوان‌ترین کانه مس ثانویه است که به صورت رگه-رگچه‌ای، پرکننده حفره‌ها، جانشینی و همراه با کانه‌های کالکوسیت و آزوریت دیده می‌شود (شکل ۹ ج). مگنتیت به صورت بلورهای نیمه خودشکل تا نیمه خود شکل در زمینه سنگ میزان با مقدار کم حضور دارد. مگنتیت از لبه و رخ‌ها در حال جانشینی با هماتیت بوده و پدیده مارتیتی شدن رخ داده است. گوتیت در لبه و درون رگچه‌ی دارای کالکوپیریت و طی جانشینی به جای آن تشکیل شده است.

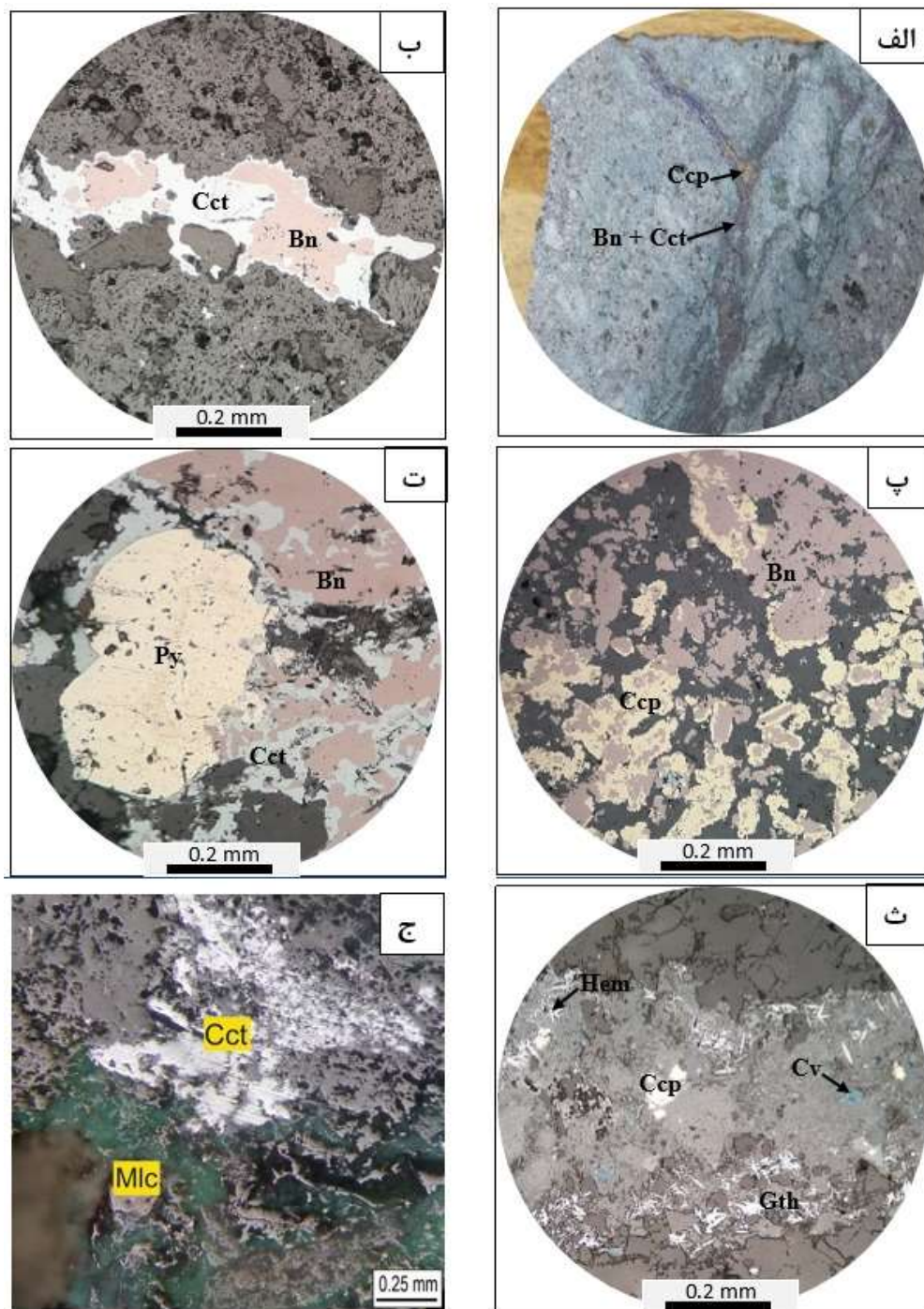
LILE:Cs, Rb, (K, Sr) (HFSE: Nb, Ti, Y, Ce, Zr)، نسبت به عناصر با شدت میدان بالا (aliole) دیده می‌شود (شکل‌های ۸ الف و ب)، این امر نشان دهنده ماقماهای وابسته به مناطق فرورانش است [۲۳]. نسبت بالای LILE/HFSE از ویژگی‌های مهم سنگ‌های آهکی قلیایی است [۲۴]. بر اساس نمودار عنکبوتی عناصر خاکی نادر بهنجار شده نسبت به کندریت [۲۰]، نمونه‌ها دارای غنی‌شدگی از عناصر خاکی نادر سبک (LREE) نسبت به عناصر خاکی نادر سنگین (HREE) هستند (شکل‌های ۸ پ و ت). سنگ‌های منطقه مس پرداد دارای نسبت بالای REE/HREE (Dy/Yb=10/12 - 13/38) و مقدار  $n$  (La/Yb=۱/۱۳/۶ تا ۱/۴۶) بوده، همچنین نسبت Y/Sr با میانگین ۰/۰۷ (۰/۷/۷) ولی مقدار Lu/Hf آن‌ها ناچیز است (با میانگین ۰/۰۷) این‌ها از شواهد رخداد ذوب‌بخشی با حضور گارنت در خاستگاه است [۲۵]. از دیگر نشانه حضور گارنت در خاستگاه، مقدار REE/U است [۲۶]. مذاب‌های برآمده از ذوب خاستگاه پریدوتیت گارنت‌دار دارای مقدار U-Th بالاتر از ۲/۶ هستند که این نسبت در نمونه سنگ‌های منطقه مس پرداد نیز بالاست (با میانگین ۴/۳/۷). براساس نمودار La/Yb نسبت به Sm/Yb [۲۱]، نمونه‌های سنگی در گستره ذوب‌بخشی ۵ تا ۱۰ درصد یک گارنت پریدوتیت هستند (شکل ۸ ث)، از این رو، مامگمای مولد سنگ‌های آتشفسنای-نیمه نفوذی منطقه مس پرداد با ذوب‌بخشی درجه متوسط ۵ تا ۱۰ درصد سنگ خاستگاه پریدوتیت گارنت شکل گرفته‌اند. موقعیت نمونه‌های منطقه در نمودار Ce/Yb نسبت به Ce/Yb [۲۲] بیانگر اعمق ۱۰۰ تا ۱۱۰ کیلومتری برای ذوب‌بخشی سنگ خاستگاه مامگمای تشکیل دهنده سنگ‌های منطقه است (شکل ۸ ج). همچنین براساس نمودار تمرکز میانگین عناصر Ce, Yb و Sm نسبت به عمق جداش مامگما، نمونه‌های منطقه پرداد اعمق حدود ۱۰۰ کیلومتری را نشان می‌دهند (شکل ۸ ج).

### کانه نگاری و توالی همبازادی

بررسی‌های سنگ‌نگاری و کانه‌نگاری نمونه‌های بدست آمده از ترانشه‌ها و مغزه‌های حفاری نشان می‌دهند که حجم عده

میان کانی‌های فلزی و غیرفلزی، توالی همبازادی کانی‌های ذخیره مس پرداد تعیین شد (شکل ۱۰).

(شکل ۹ ث). بر اساس بررسی‌های صحرایی و میکروسکوپی نمونه‌ها از سطح تا عمق کانه‌سازی و بر پایه به روابط بافتی



شکل ۹ تصاویر میکروسکوپی از انواع رخداد کانی‌زایی در رگه‌رگچه‌های ذخیره پرداد: (الف) مغزه حفاری دربردارنده گچه‌های کالکوپیریت همراه با بورنیت و کالکوسیت، (ب) رگه‌رگچه کانی‌سازی جانشینی بورنیت (Cct) با کالکوسیت (Bn)، (پ) جانشینی بورنیت (Bn) با کالکوپیریت (Ccp) (ث) تشکیل پیریت نیمه شکل دار در زمینه سنگ میزبان آندزیت، (ث) جانشینی کالکوپیریت با کانی‌های ثانویه از جمله کوولیت (Cv) و گوتیت با تشکیل هماتیت در لبه رگچه، (ج) کانی‌های کالکوسیت و مالاکیت (Mlc).

کانی‌ها	مرحله	قبل-کانی‌سازی	کانی‌سازی اصلی	بعد - کانی‌سازی	
			هیپوشن	سوپرژن	اکسیدی - کربناتی
پیریت		██████			
کالکوپیریت		█	██████		
بورنیت			██████		
کالکوسیت			██████		
مس طبیعی		█			
کوولیت				██████	
مالاکیت					██████
آزوریت					██████
مگنتیت		█			
هماتیت					██████
گوتیت					█
باقی:	رگه - رگچه		██████	██████	
	جانشینی		██████	██████	
	انتشاری		██████		
	پرکننده شکاف		█	----	

شکل ۱۰ مراحل تشکیل و توالی همیرزادی کانی‌ای همراه با بافت‌های تشکیل شده در ذخیره مس پرداد.

فعالیت دارند [۲۷]. داده‌های ایزوتوپی با مقادیر منفی از گوگرد ۳۴، بطور عمده ناشی از فرآیندهای آلی هستند [۲۹]. میزان فعالیت اندامگان‌ها با میزان دسترسی آن‌ها به مواد آلی حل شده کنترل می‌شود [۱۶]. باکتری‌های بی هوایی با مصرف مواد آلی، سبب احیای شدید باکتریایی سولفات آب دریا می‌شوند [۱۶]. گوگرد تولید شده به صورت  $H_2S$  که از گوگرد ۳۲ غنی است، با آهن آزاد موجود در حوضه واکنش داده و پیریت در فضاهای خالی و شکستگی‌های موجود در واحد تراکی آندزیتی را نهشته می‌کند. کنترل کننده‌های تشکیل پیریت در یک حوضه احیایی، مقدار آهن آزاد در دسترس، مقدار مواد آلی و میزان فعالیت ریزاندامکان‌ها هستند [۲۷]. در مرحله کانه‌زایی اصلی که سولفیدهای مس تشکیل شده‌اند، دما افزایش یافته و به طور متوسط تا حدود ۲۰۰ درجه سانتیگراد می‌رسد. در این دما، باکتری‌ها فعالیت ندارند، زیرا فعالیت ریزاندامکان‌ها برای احیای سولفات آب دریا تا دمای ۱۰۰ درجه سانتیگراد صورت می‌گیرد [۳۰، ۲۹]. مقایسه داده‌های ایزوتوپی گوگرد ذخیره مس پرداد با کانسارهای مس نوع مانتو نواحی شمالی و مرکزی

بررسی‌های ایزوتوپ پایدار مقادیر ایزوتوپی  $\delta^{34}S$  بر روی کانی‌های سولفیدی و  $\delta^{13}C$  برای کلسیت‌های رگه‌های سولفیدی - کربناتی ذخیره پرداد بررسی شد. گستره تغییرات ایزوتوپی گوگرد در ذخیره مس پرداد از ۱۰/۱ - تا ۱۲/۷ در هزار است (جدول ۱). مقادیر ایزوتوپی  $\delta^{34}S$  در سنگ‌های آذرین نزدیک به صفر است. برای سنگ‌های دگرگونی، این مقادیر در گستره بزرگتری از ۲۰ +۲۰ در هزار و در سنگ‌های رسوبی در گستره گسترده‌تری از ۴۰ +۴۰ تا ۴۰٪ قرار دارد [۲۷]. مقادیر ایزوتوپی نمونه‌های پرداد، گستره مقادیر ایزوتوپی گوگرد با خاستگاه رسوبی و زیست‌زایشی را نشان می‌دهند (شکل ۱۱). مقادیر منفی  $\delta^{34}S$  در نمونه‌های مس پرداد بیانگر شکل گرفتن گوگرد از فرآیندهایی است که سبب کاهش غلظت  $\delta^{34}S$  در ترکیب آن-ها شده است [۲۸]. مهمترین فرآیندی که منجر به مقادیر منفی برای گوگرد می‌شود، فرآیند احیایی باکتریایی است. گستره‌ی دمایی باکتری‌ها از ۱/۵ - تا بیش از صد درجه سانتیگراد است و در شوری کم آب‌های جوی تا شورابه‌ها

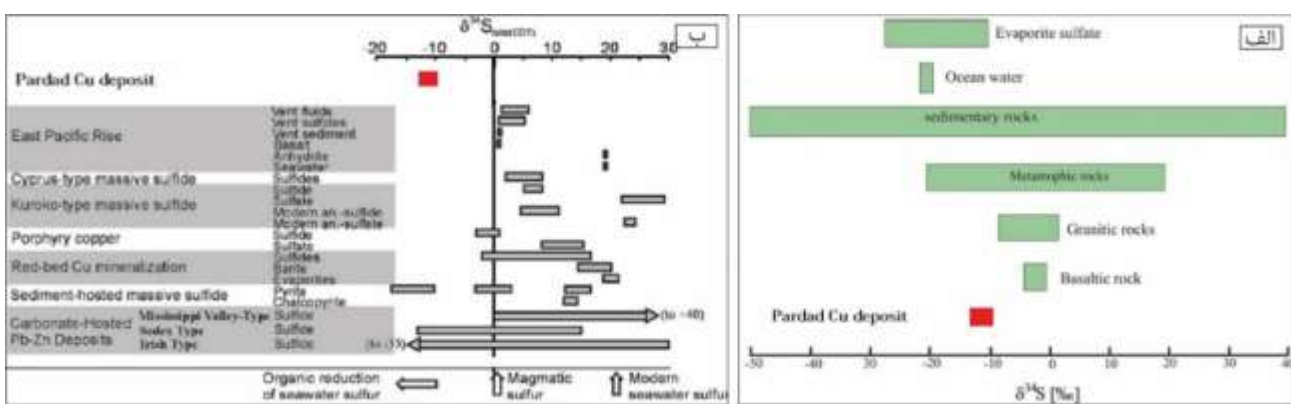
دریایی از گرمابی [۳۴] (شکل ۱۲ ب) نمونه‌های کلسیتی در گستره گرمابی قرار دارند. همچنین در نمودارهای مشابه دیگر (شکل‌های ۱۲ پ و ت) [۲۸، ۳۵، ۲۸]، نمونه‌ها در نزدیکی کربنات‌های برآمده از گوشه (گرمابی) و دگرسانی گرمابی دما پایین قرار گرفته‌اند. مقادیر  $\delta^{18}\text{O}$  در نمونه‌های ذخیره مس پرداد بین ۱۴ تا ۱۵ در هزار است، نتایج مقادیر  $\delta^{18}\text{O}$  منطقه مورده بررسی را به نسبت بالا نشان می‌دهد، مقادیر  $\delta^{18}\text{O}$  با چرخش در رسوب‌های آب‌های کم عمق می‌تواند افزایش یابد [۳۶]. از سویی دیگر می‌توان افزایش مقادیر ایزوتوپی اکسیژن را نشان دهنده سردشدنگی سیال در مراحل پایانی دانست [۳۷]. براساس برآیند نتایج بیان شده، سهم عمده سیال‌ها، ناشی از سیال‌های گرمابی طی مسیر با چرخش در رسوب‌ها (لایه‌های کربناتی رسوبی) و آب‌های با خاستگاه مختلف (آب‌های جوی)، بخشی از اکسیژن و کربن خود را از این رسوب‌ها تأمین نموده‌اند.

شیلی نشان می‌دهد که این ذخیره بیشترین شباهت را با کانسارهای نواحی مرکزی شیلی دارد. خاستگاه عمدۀ گوگرد در کانسارهای مس مانتو در بخش‌های شمالی شیلی، ماقمابی و در کانسارهای بخش مرکزی شیلی بیشتر سولفات آب دریایی است که باکتری‌ها آن را احیاء نموده‌اند [۳۱].

ایزوتوپ‌های کربن  $\delta^{13}\text{C}_{\text{PDB}}$  اندازه‌گیری شده در کلسیت‌های همراه با کانه‌زایی در ذخیره مس پرداد دارای مقادیر منفی ۹,۰۶- ۹,۵۷- تا ۱۰,۱۰- هستند (جدول ۲). مقادیر  $\delta^{18}\text{O}_{\text{PDB}}$  نیز بین ۱۵,۳۵- ۱۵,۷۹- تا ۱۶,۱۰- هستند و میانگین ۱۵,۷۹- را نشان می‌دهند. داده‌های  $\delta^{18}\text{O}_{\text{SMOW}} = \delta(1.03086 + 30.86)$  با استفاده از رابطه  $\delta^{18}\text{O}_{\text{SMOW}} = \delta^{18}\text{O}_{\text{PDB}} - 14.59$  با میانگین ۱۴,۵۹ است (جدول ۲). ترکیب  $\delta^{13}\text{C}$  کلسیت به دور از مقادیر ایزوتوپی کربناتی‌های برآمده از فرآیندهای زیستی قرار داشته و در بین کربنات‌های دریایی و کربنات‌های گرمابی قرار دارد [۳۳] (شکل ۱۲ الف). در نمودار تفکیک کربنات‌های با خاستگاه

جدول ۱ نتایج ترکیب ایزوتوپی گوگرد نمونه‌های کالکوسيتی در ذخیره مس پرداد.

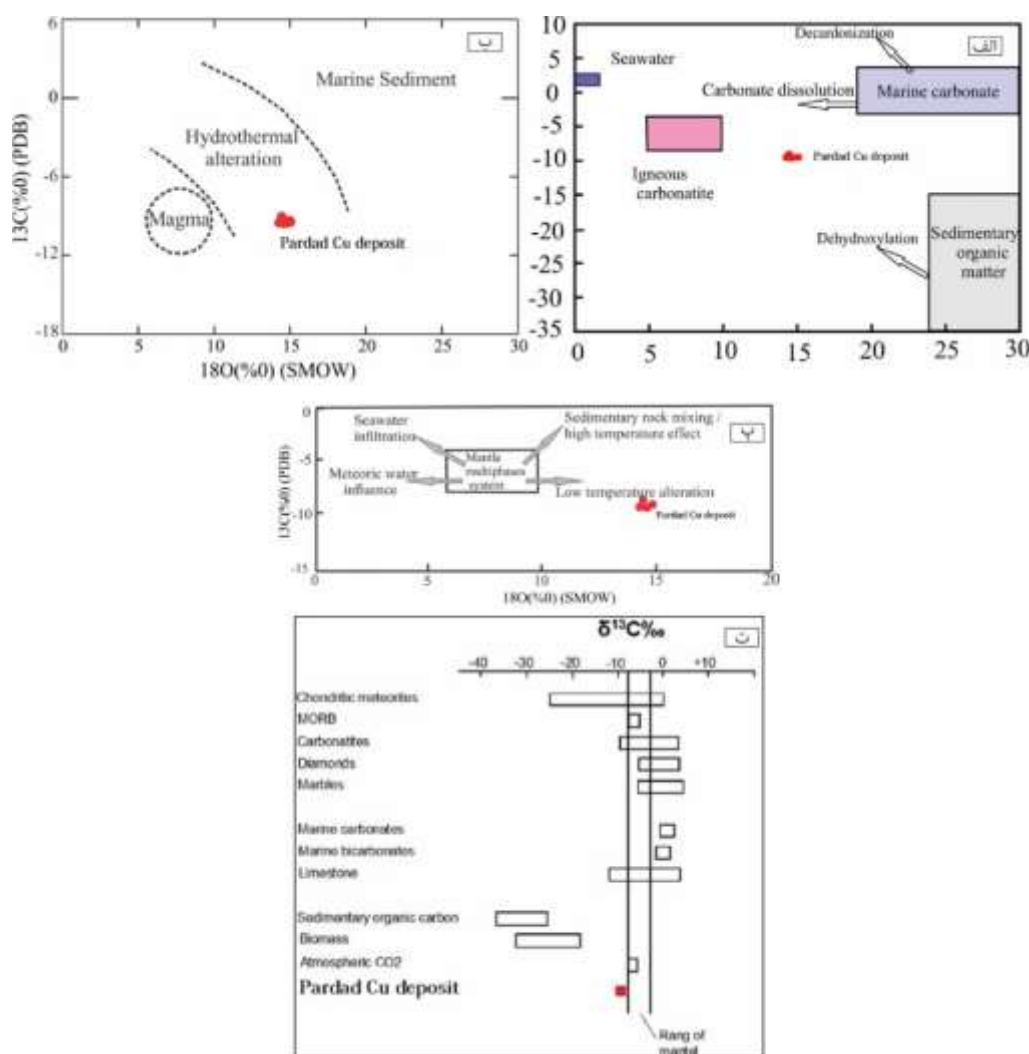
شماره نمونه	فاز کانیایی مس	$\delta^{34}\text{S} (\text{‰})$ (CDT)
Ch-1	کالکوسيت	-11,5
Ch-2	کالکوسيت	-11,6
Ch-3	کالکوسيت	-11,9
Ch-4	کالکوسيت	-10,1
Ch-5	کالکوسيت	-12,6
Ch (Bo)-6	کالکوسيت (بورنیت)	-12,3
Ch (Bo)-7	کالکوسيت (بورنیت)	-11,9
Ch (Bo)-8	کالکوسيت (بورنیت)	-12,7



شکل ۱۱ الف) نمایش ترکیب ایزوتوپی  $\delta^{34}\text{S}$  محیط‌های زمین‌شناسی مختلف [۲۷] و موقعیت سولفیدهای مس پرداد، ب) مقادیر ایزوتوپی گوگرد در کانسارهای گرمابی مختلف [۲۸]. سولفیدهای ذخیره پرداد در بخش احیای آلی سولفات آب دریا گرفته‌اند.

جدول ۲ نتایج ایزوتوب‌های کربن - اکسیژن کلسیت در ذخیره مس پرداد. مقادیر  $\delta^{18}\text{O}_{\text{SMOW}}$  % با استفاده از رابطه  $\delta^{18}\text{O}_{\text{PDB}} * 1.03086 + 1.03086$  محاسبه شده‌اند.  $\delta^{18}\text{O}_{\text{SMOW}} = \delta 30.86$

شماره نمونه	$^{18}\text{O}(\%)$ $\delta(\text{SMOW})$	$^{18}\text{O}(\%)$ $\delta(\text{PDB})$	$^{13}\text{C}(\%)$ $\delta(\text{PDB})$
Ca-1	14.60	-15.77	-9.57
Ca-2	15.04	-15.35	-9.51
Ca-3	14.27	-16.10	-9.53
Ca-4	14.44	-15.93	-9.06



شکل ۱۲ الف تا پ نمودارهای مقادیر  $\delta^{13}\text{C}_{\text{PDB}}$  و  $\delta^{18}\text{O}_{\text{SMOW}}$  نسبت به آنها [۳۳-۳۵؛ ت] گستره تغییرات ایزوتوبی کربن در کلسیت گرمابی ذخیره مس پرداد برگرفته از مرجع [۲۸].

پراکنده تشکیل شده است. کانی‌های اصلی این ذخیره مانند کانسارهای نوع مانتو شامل کانی‌های سولفیدی (کالکوست، بورنیت، به مقدار کم کوولیت و کالکوپیریت)، کانی‌های کربناتی مس (مالاکیت، آزوریت) و کانی‌های اکسیدی (مگنتیت، هماتیت، لیمونیت) هستند. محیط زمین‌ساختی نشانگر تشکیل

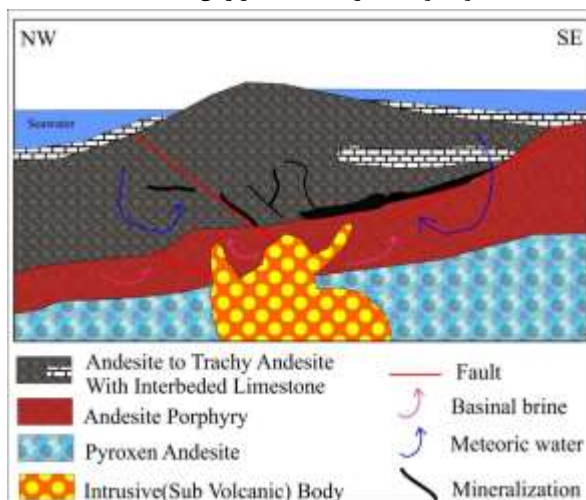
خاصتگاه و الگوی تشکیل ذخیره مس پرداد کانه‌زایی در ذخیره مس پرداد در سنگ‌های آتشفسانی با ترکیب آندزیت تا تراکی آندزیت و پیروکسن آندزیت در کنار توده نیمه نفوذی به صورت چینه کران رخ داده است. ماده معدنی به صورت رگه-رگه‌ای، پرکننده حفره‌ها، جانشینی و

با درجه شوری بالا باعث ایجاد جریان‌های همرفتی و شستشوی مس در توالی‌های آتشفسانی-رسوبی می‌شوند [۳۱]. این سیال‌ها بیشتر از خاستگاه شورابه‌های حوضه‌ای هستند، ولی دخالت آب دریا، آبهای جوی و سیال‌های ماقمایی بر پایه ایزوتوب‌های اکسیژن، هیدروژن و گوگرد تایید شده است [۳۹]. در ذخیره مس پرداد، واحد نیمه نفوذی کوارتزمنزونیت تا کوارتزمنزودیوریت می‌تواند نقش تامین کننده گرمای لازم را داشته باشد. براساس بررسی‌های زمین‌شیمیایی واحدهای سنگی منطقه، مقدار مس در واحدهای آندزیتی (تراکی آندزیت تا پیروکسن آندزیت) از ۱۶ تا ۳۰۰ ppm و در سنگ‌های نیمه عمیق نفوذی از ۳۵ تا ۳۹۶ ppm اندازه‌گیری شده است که در مقایسه با مقدار متوسط مس سنگ‌های آندزیتی پوسته‌ای (۷۵ ppm) غنی‌شده‌گی نشان می‌دهد و می‌تواند منبع تامین کننده مس این ذخیره باشد. این سیال‌های غنی از مس به سمت نقاط کم فشار حرکت کرده و با ورود به واحدهای غنی از پیریت، موجب آزاد شدن آهن از ساختار پیریت و جانشینی مس به جای آن شده‌اند. در ذخیره مس پرداد (مانند اغلب کانسارهای نوع مانتو)، آهن آزاد شده از شبکه پیریت به شکل هماتیت پیرامون سولفیدهای مس وجود دارد [۴۰، ۴۲]. فازهای کانه‌زایی سولفیدی شامل کالکوسیت، بورنیت و کالکوپیریت به صورت رگه‌رگچه‌ای، پراکنده در مرحله درونزایی ثانویه (تعریفی) تشکیل شده‌اند. از جمله شواهد درونزایی تعریفی تشکیل زئولیت و تبدیل پیریت به کالکوسیت است. جانشینی کالکوسیت به جای پیریت در اثر واکنش سیال‌های غنی از مس با پیریت‌های اولیه سنگ در کانسارهای مانتو گزارش شده است [۳۰].

این ذخیره در قوس آتشفسانی وابسته به پهنه فروزانش است. ارتباط کالی‌سازی با سنگ‌های آتشفسانی-رسوبی کمان ماقمایی سبزوار-شاہرود بیانگر نزدیکی این ذخیره با کانسارهای نوع مانتو است [۳۸]. مقدار مس در کانسارهای نوع مانتو در گستره ۱ تا بیش از ۴ درصد [۳۱] و در این ذخیره از ۰/۷ تا ۲/۵ درصد متغیر است. کانه‌زایی و فرآیندهای تشکیل ذخیره مس پرداد را با توجه به مدل روزایی-دروزنزایی می‌توان در سه مرحله توضیح داد (شکل ۱۳) که در ادامه بیان می‌شوند (جدول‌های ۳ و ۴).

در مرحله درونزایی آغازین (مرحله اول)، رخداد فعالیت‌های آتشفسانی گستردۀ سبب تولید واحدهای آذرآواری شده و با تولید جریان گدازه‌ای فراوان ادامه می‌یابد و واحدهای آذرآواری اولیه را می‌پوشانند. طی این مرحله از تکامل حوضه، سنگ‌های آتشفسانی آندزیت تا تراکی آندزیت و پیروکسن آندزیت شکل گرفته‌اند. ریزاندامگان‌های احیا کننده سولفات آب دریا نیز همزمان باعث احیای سولفات آب دریا و آزاد شدن گوگرد شده و این گوگرد در اثر واکنش با آهن موجب ایجاد پیریت به صورت پراکنده در سنگ میزبان آندزیتی و شرایط احیایی حوضه شده است. تجزیه ایزوتوبی گوگرد نمونه‌های کالکوسیتی پرداد نشان دهنده احیای گوگرد توسط فعالیت باکتریایی است.

در مرحله درونزایی ثانویه (مرحله دوم) رخداد فعالیت‌های آتشفسانی و حجم قابل توجه از توالی آتشفسانی-رسوبی، سنگ میزبان کانه‌زایی می‌تواند ظرفیت گرمایی بالایی را در خود حفظ نماید [۳۹] که موجب تحرک سیال‌ها و شورابه‌های اکسیدی بین منفذی می‌شود [۴۰]. در پی جایگیری توده نفوذی در لایه‌های آتشفسانی-رسوبی، آبهای جوی و آب دریا



شکل ۱۳ مدل طرحواره‌ای از تشکیل ذخیره مس پرداد.

جدول ۳ نتایج تجزیه نمونه‌های سنگی ذخیره مس پرداد به روش‌های XRF و ICP-MS

نوع سنگی نمونه	آندزیت BH3-36m	آندزیت BH8-30m	آندزیت BH7-47m	آندزیت BH9-36m	آندزیت BH7-45m	آندزیت BH8-49m	کوارتزمونزونیت BH6-29m	کوارتزمونزونیت BH7-40m	کوارتزمونزونیت BH2-39m
SiO <sub>2</sub>	۵۶.۴۴	۵۷.۶۲	۵۸.۹۲	۵۶.۶۵	۵۷.۹۲	۵۶.۳۶	۵۶.۶۹	۵۶.۷۷	۵۶.۶۵
Al <sub>2</sub> O <sub>3</sub>	۱۷.۵۴	۱۸.۰۲	۱۶.۲۸	۱۷.۰۴	۱۸.۰۳	۱۷.۶۳	۱۸.۱۴	۱۸.۲	۱۸.۲۳
Fe <sub>2</sub> O <sub>3</sub>	۶.۲۲	۶.۹۸	۹.۷۸	۷.۳۴	۶.۲۱	۷.۵۳	۶.۸۶	۶.۷۱	۶.۹۸
CaO	۵.۶۶	۴.۲۸	۴.۹۶	۴.۷۵	۵.۴۸	۵.۵۳	۵.۶۸	۵.۷۶	۶
Na <sub>2</sub> O	۲.۲۵	۲.۴۳	۲.۳	۲.۹۷	۲.۷۵	۲.۶۱	۲.۵۸	۲.۵۹	۲.۴۸
K <sub>2</sub> O	۴.۱۵	۴.۸۸	۴.۸۷	۴.۱۵	۴.۶۵	۴.۷۵	۴.۲۹	۴.۵۴	۴.۴۹
MgO	۴.۵۳	۲.۹۳	۲.۶۸	۳.۲۱	۲.۵۴	۲.۷	۲.۹۲	۲.۵۸	۲.۶۳
TiO <sub>2</sub>	۰.۶۲	۰.۶۱	۰.۵۳	۰.۶۴	۰.۵۲	۰.۶۸	۰.۶۳	۰.۵۲	۰.۶۵
MnO	۰.۰۷	۰.۱۱	۰.۱۱	۰.۰۸	۰.۰۸	۰.۱۳	۰.۱۰	۰.۱۰	۰.۱۱
P <sub>2</sub> O <sub>5</sub>	۰.۲۶	۰.۳۶	۰.۳۵	۰.۳۶	۰.۳۶	۰.۳۷	۰.۳۳	۰.۳۶	۰.۳۵
L.O.I	۲.۸۶	۱.۰۹	۲.۱۴	۲.۴۴	۱.۲۶	۱.۵۱	۱.۵۶	۱.۷۷	۱.۲۴
Total	۱۰.۱۸	۹۹.۸۱	۱۰.۲۷۲	۹۹.۹۳	۹۹.۸	۹۹.۸	۹۹.۷۸	۹۹.۹	۹۹.۸۱
Ag	۰.۰۵	۰.۰۵	۰.۰۵	۰.۰۶	۰.۰۵	۰.۰۸	۰.۰۷	۰.۰۳	۰.۰۴
As	۱۵	۱۳	۷	۲۳	۷	۵	۵	۱۰	۹
Ba	۲۶۱.۸	۳۶۵.۴	۳۳۹.۳	۳۱۲.۷	۲۶۲.۷	۳۶۱.۵	۳۶۵.۱	۳۷۳	۳۶۰.۶
Be	۲.۴۲	۲.۲۱	۲.۱۷	۲.۱۴	۲.۱۱	۲.۱۶	۲.۱۸	۲.۱۵	۲.۰۱
Bi	۰.۱	۰.۱۶	۰.۰۳	۰.۰۶	۰.۰۲	۰.۰۵	۰.۱۵	۰.۱۷	۰.۰۶
Ca	۳۴۳۵.۰	۲۸.۰۳۹	۳۱۷۸.۹	۲۷۱۲.۸	۳۵۵۵.۵	۳۴۵۹.۶	۳۴۷۱.۴	۳۶۵۰.۷	۳۶۷۰.۶
Cd	۰.۷۴	۰.۶۲	۰.۶۲	۰.۹	۰.۵	۱.۱۲	۰.۷۲	۰.۶۶	۱.۱۱
Co	۰.۷۳	۰.۰۳	۰.۰۸	۰.۰۳	۰.۰۵	۰.۰۳	۰.۱۳	۰.۰۶	۰.۰۳
Cr	۱۵	۲۱	۱۷	۱۰	۱۳	۱۲	۲۰	۱۲	۱۳
Cs	۰.۸	۱.۶۹	۱.۷۸	۱.۰۸	۱.۷۶	۱.۴۸	۲.۱۲	۱.۷۴	۱.۳۵
Cu	۲۲۴.۸	۵۲.۶	۳۲.۹	۱۶.۸	۷۷.۲	۸۴.۱	۱۸۷	۱۰.۹۷	۲۵۶
Hf	۲.۴۸	۳.۴۲	۳.۳۸	۳.۲۲	۳.۵	۳.۴۹	۳.۵۹	۲.۲۲	۲.۶۹
In	۰.۴۲	۰.۴۱	۰.۴۲	۰.۴۱	۰.۴۱	۰.۴	۰.۴۱	۰.۴۱	۰.۴۱
Li	۱۳	۱۶	۱۶	۲۰	۱۰	۱۲	۱۳	۱۲	۱۲
Mn	۷۶۶	۱۱۴۶	۱۱۶۰	۸۱۳	۹۱۴	۱۲۸۶	۱۱۵۵	۱۰.۹۱	۱۰.۷۸
Mo	۸.۷۸	۲.۳۶	۰.۳۷	۰.۲۶	۰.۷۶	۱.۲۲	۳.۹۱	۴.۰۷	۴.۴۵
Nb	۰.۳۸	۰.۴۹	۰.۵۶	۰.۶۲	۰.۷۸	۰.۴	۰.۷۶	۱.۱۳	۰.۱۹
Ni	۹	۱۰	۱۱	۱۰	۱۲	۸	۱۴	۱۱	۱۶
P	۲۱۴۷	۲۲۶۳	۲۱۹۴	۲۱۷۶	۲۲۶۴	۲۲۷۸	۲۱۷۹	۱۱۴۹	۲۲۱۷
Pb	۲۴.۶	۱۱.۵	۱۰.۸	۷.۶۲	۱۲.۴	۱۰.۱	۱۱.۹	۱۱.۳	۱۰.۳
Rb	۷۲.۳	۱۲۸	۱۱۷	۷۵.۸	۱.۱	۸۸	۹۲.۱	۸۷.۱	۱۰.۱
S	۷۸	۳۴	۴۶	۶۱	۲۹	۴۰	۴۶	۳۱	۳۹
Sb	۰.۰۲	۰.۰۲	۰.۰۸	۰.۰۷	۰.۰۹	۰.۷	۰.۰۳	۲۹۳	۰.۰۳
Sc	۱۱.۶	۱۱.۹	۱۲.۳	۱۲	۱۲.۲	۱۲.۱	۱۱.۹	۱۲.۵	۱۲.۸
Sn	۱.۱۷	۰.۳	۰.۰۶	۰.۰۳	۰.۰۱	۰.۰۱	۰.۰۵	۰.۰۳	۰.۰۴
Sr	۵۳۲.۷	۵۸۶.۷	۶۳۰.۶	۶۰۷.۹	۶۷۹.۳	۶۶۸.۷	۶۸۶	۷۰.۵۹	۶۷۰.۹
Ta	۰.۸۴	۰.۸۳	۰.۷۹	۰.۷۳	۰.۸۳	۰.۸۴	۰.۸۴	۰.۷۶	۰.۸۷
Te	۱.۲۵	۱.۶۳	۱.۷۵	۲.۰۳	۲.۱	۱.۱	۱.۴۲	۲.۲۸	۱.۸۹
Th	۶.۸۶	۶.۷	۶.۵۹	۶.۵۶	۶.۷۲	۶.۴۲	۶.۹	۶.۷۶	۷.۰۵
Ti	۴۶۲۲	۴۹۱۸	۴۸۲۲	۴۷۰۲	۴۸.۰۱	۵۰.۳۰	۴۶۰۶	۴۹۰۱	۴۹۰۸
Tl	۰.۱۲	۰.۱۱	۰.۱	۰.۱۱	۰.۰۸	۰.۰۸	۰.۰۶	۰.۰۷	۰.۰۸
U	۰.۷۴	۱.۸۱	۱.۶۸	۰.۲۶	۱.۸۲	۱.۶۸	۱.۹۱	۱.۸۹	۱.۸۶
V	۱۴۸	۱۰۳	۱۵۶	۱۵۴	۱۰۲	۱۵۲	۱۵۰	۱۵۷	۱۵۷
W	۰.۶	۰.۳	۰.۱	۰.۵	۰.۱	۰.۲۹	۰.۱۹	۰.۱۸	۰.۱۹
Y	۲۱.۳	۲۲.۱	۲۱.۵	۲۱.۵	۲۱.۹	۲۱.۴	۲۱.۲	۲۱.۹	۲۲.۱
Zn	۱۰.۱۳	۸.۷۲	۸.۷۳	۹.۲۴	۸.۳	۹.۳۹	۱۲۴.۸	۸۹.۴	۹۲.۸
Zr	۱۳۳	۱۲۸	۱۳۳	۱۳۴	۱۲۷	۱۳۸	۱۴۳	۱۲۸	۱۳۹
La	۲۴.۸	۲۴.۴	۲۳.۹	۲۲.۹	۲۴.۷	۲۲.۴	۲۲.۲	۲۲.۹	۲۵.۵
Ce	۴۹.۶	۵.۹	۴۸.۵	۴۷.۴	۴۹.۵	۴۶.۴	۴۷.۶	۴۶.۲	۵۲
Pr	۶.۵۲	۶.۶۲	۶.۴۵	۶.۲۳	۶.۵۸	۶.۲۴	۶.۳۵	۶.۲	۶.۷۶
Nd	۱۴.۶	۱۵.۲	۱۳.۹	۱۴.۲	۱۵.۱	۱۲.۷	۱۴.۶	۱۲.۴	۱۵.۷
Sm	۵.۰۸	۵.۲۸	۵.۰۴	۴.۹۱	۵.۱۲	۴.۸۳	۴.۹۷	۴.۸۹	۵.۲۵
Eu	۱.۵۲	۱.۶۶	۱.۵۶	۱.۴۷	۱.۵۸	۱.۵۶	۱.۵۶	۱.۰۵	۱.۶۵
Gd	۲.۸۸	۳.۸۵	۳.۷۲	۳.۶۱	۳.۷۳	۳.۶۶	۳.۷۷	۳.۵۸	۲.۹۶
Tb	۰.۸	۰.۸۳	۰.۷۹	۰.۷۷	۰.۸۲	۰.۷۸	۰.۸	۰.۷۶	۰.۸۷
Dy	۲.۸۱	۲.۶۹	۲.۷۲	۲.۶۹	۲.۸۱	۲.۷	۲.۷	۲.۵۶	۲.۰۵
Ho	۰.۶۷	۰.۶۶	۰.۶۵	۰.۶۴	۰.۶۸	۰.۶۴	۰.۶۶	۰.۶۲	۰.۷
Er	۱.۶۲	۱.۷۲	۱.۶۲	۱.۵۶	۱.۶۷	۱.۶۶	۱.۷۶	۱.۵۱	۱.۸
Tm	۰.۱۲	۰.۳۴	۰.۳۳	۰.۳۱	۰.۳۳	۰.۳۳	۰.۳۴	۰.۳۱	۰.۳۵
Yb	۱.۲۵	۱.۲۸	۱.۲۷	۱.۲۷	۱.۲۶	۱.۲۲	۱.۲۷	۱.۱۸	۱.۳۵
Lu	۰.۱۷	۰.۱۸	۰.۱۷	۰.۱۷	۰.۱۸	۰.۱۸	۰.۱۸	۰.۱۶	۰.۱۹

جدول ۴ نتایج تجزیه نمونه های سنگی ذخیره مس پرداد به روش XRF

نوع سنگ نمونه	آنزیست BH1-39m	آنزیست BH4-23m	کوارتزمونزونیت BH7-14m	کوارتزمونزونیت BH7-28m
SiO <sub>2</sub>	۵۷,۸۵	۵۴,۰۶	۵۶,۷۶	۵۷,۱۸
Al <sub>2</sub> O <sub>3</sub>	۱۷,۸۳	۱۶,۳۸	۱۸,۳۴	۱۷,۹۳
Fe <sub>2</sub> O <sub>3</sub>	۶,۳۳	۹,۱۶	۶,۸۲	۶,۸
CaO	۶,۰۴	۵,۳۷	۵,۹۱	۵,۵۲
Na <sub>2</sub> O	۲,۵۹	۲,۸	۲,۶۵	۲,۵۷
K <sub>2</sub> O	۴,۵۸	۴,۹۸	۴,۴۳	۴,۴۷
MgO	۲,۳۷	۳,۶۲	۲,۷۳	۲,۹۷
TiO <sub>2</sub>	۰,۵۴	۰,۶۶	۰,۶۳	۰,۶۵
MnO	۰,۰۹	۰,۰۷	۰,۱۱	۰,۱۳
P <sub>2</sub> O <sub>5</sub>	۰,۳۶	۰,۲۷	۰,۳۵	۰,۴۳
L.O.I	۱,۲۲	۱,۰۲	۱,۰۶	۱,۱۴
مجموع	۹۹,۸	۹۹,۳۸	۹۹,۷۹	۹۹,۷۹
S	۲۸	۸۷	۲۷	۲۴
Cl	۴	۲۲	۱۳	۲۳
Ba	۳۴۱	۳۰۴	۳۵۶	۳۹۶
V	۱۱۳	۱۲۰	۱۱۵	۱۱۷
Cr	۹	۵	۷	۹
Ni	۲۱	۲۵	۱۸	۲۰
Cu	۴۸۲	۳۳۰۰	۲۸۲	۳۱۶
Zn	۷۰	۱۰۲	۶۶	۶۷
As	۲۹	۱۶	۳۳	۳۴
Sr	۸۱۳	۸۰۷	۷۳۳	۸۰۵
Pb	۱۲	۸	۶	۵

کمانهای پس از برخورد (PAP) با گرایش آهکی قلیایی تا شوشنوئیتی، در گستره متألومین قرار دارند و نشان‌دهنده مagmaهای وابسته به مناطق فروزانش هستند. magmaی مولد سنگ‌های آتشفسانی-نیمه نفوذی منطقه مس پرداد از ذوب‌بخشی با درجه متوسط ۵ تا ۱۰ درصد سنگ خاستگاه پریدوتیت گارتنت به وجود آمده که بیانگر اعمق ۱۰۰ تا ۱۱۰ کیلومتری برای ذوب‌بخشی magmaی تشکیل‌دهنده سنگ‌های منطقه است. کانی‌سازی مس در سنگ‌های آتشفسانی ترشیری با ترکیب سنگ‌شناختی آنزیست، تراکی آنزیست، پیروکسن آنزیست و سنگ‌های نیمه نفوذی با ترکیب کوارتزمونزونیت تا مونزوپیوریت به صورت رگه-رگه‌ای، داریستی و پرکننده فضاهای خالی صورت گرفته است. کانی‌های سازنده ماده معدنی شامل بورنیت، کالکوسبیت، کالکوپیریت، ملاکیت، آزوریت، کوولیت و مس طبیعی (به مقدار کم) هستند.

در مرحله بالآمدگی - فعالیت گرمایی (مرحله سوم)، پس از تشکیل کانسنسگ مس اولیه، با رخداد فازهای کوهزایی و بالآمدگی، توالی‌های آتشفسانی-رسوبی ائوسن دچار چین خوردگی و گسل خوردگی شده‌اند. گسل‌های منطقه باعث ایجاد فضاهای باز و تمرکز سیال‌های گرمایی (با خاستگاه جوی و به احتمال بسیار magmaی) دربردارنده کانه‌زایی سولفیدی و اکسیدی-کربناتی (اکسیدهای آهن، ملاکیت و آزوریت) در واحدهای آتشفسانی شده‌اند.

#### برداشت

ذخیره مس پرداد به عنوان بخشی از نوار magmaی ائوسن داورزن - عباس‌آباد، در لبه شمال شرقی پهنه ساختاری ایران مرکزی و در تاقدیس کاهک با روند شرقی-غربی واقع است. زمین‌شناسی منطقه در هسته تاقدیس شامل واحدهای آتشفسانی-نیمه نفوذی، واحدهای رسوبی و رسوبهای عهد حاضر است که در سطح و پیرامون آن گسترش دارند. سنگ‌های این منطقه در محیط کمانهای قاره‌ای (CAP) و

- [4] Taefi N., "Investigating the genesis of copper mineralization along with Eocene volcanic and volcanic-sedimentary rocks, north of central Iran, east and southeast of Shahrood". Master's thesis in petrology, Faculty of Earth Sciences, Shahrood University of Technology, (2014) 177.
- [5] Shoghani M., "Study of mineralogy, geochemistry and pattern of copper mineralization in the volcanic-sedimentary sequence of Eocene Oligocene, north of Kahek Sabzevar". Master's Thesis in Economic Geology, Faculty of Earth Sciences, Shahrood University of Technology, (2018) 193.
- [6] Karimi D., Madbari S., Hassannejad A., Mirzaei M., Bajlan B., "Petrography and geochemistry of the host rock of Manto Bridge Brisham type deposit", Miami. The first research conference in civil engineering, architecture and earth sciences, 16 (2016).
- [7] Ebrahimi S., Arab Amiri A., Biari H., "Evidence of manto copper mineralization in the Asmanu area (northeast of Shahrood) based on mineralogical features, alteration and fluid intermediates". Earth Science Research Journal, 36 (2017) 67-85.
- [8] Heydari M., "Study of geochemistry, stable isotopes and genesis of Madan Bozor copper deposit (Abbasabad, east of Shahrood)", master's thesis in economic geology, Faculty of Earth Sciences, Shahrood University of Technology, (2011) 134.
- [9] Samani B., "Metallogenesis of the Manto type copper deposit". 6th Geological Society of Iran Conference, Shahid Bahonar University, Kerman, Iran. (2002).
- [10] Alinia F., Dehghan Nejad M., "Economic geology of Abbass Abad mining area and estimation of their potential, Shahrood". 1<sup>th</sup> Engineering Mining Conference, Tarbiat Modares University, Tehran, Iran. (2004).
- [11] Lotfi M., Nouroozi R., "Copper genesis of the Abbass Abad area and their geodynamic characteristics, Semnan Province". 20<sup>th</sup> Earth Science Conference, Geological Survey of Iran, Tehran, Iran. (2001).
- [12] Kim Y.S., Peacock D.C., Sanderson D.J., "Fault damages zones". Journal of structural geology, 26 (2004) 503-517.

گستره تغییرات ایزوتوپی گوگرد در ذخیره مس پرداد از ۱۰۱-۱۲۷- در هزار است. مقادیر منفی  $\delta^{34}\text{S}$  در نمونه‌های مس پرداد نشان‌دهنده شکل‌گیری گوگرد از فرآیندهایی است که سبب کاهش غلظت  $\delta^{34}\text{S}$  در ترکیب آن‌ها شده است. مقادیر ایزوتوپی گوگرد ذخیره مس پرداد مشابه کانسارهای بخش مرکزی شیلی بوده و بیشتر نشان‌دهنده سولفات آب دریایی است که با باکتری‌ها احیاء شده است. ایزوتوپ‌های  $\delta^{13}\text{C}$  و  $\delta^{18}\text{O}$  اندازه‌گیری شده در کلسیت‌های همراه با کانه‌زایی در ذخیره مس پرداد نیز نشان‌دهنده مقادیر منفی هستند و سهم عمده سیال‌های از سیال‌های گرمابی ناشی از چرخش در رسوهای کربناتی دریایی و آبهای جوی تأمین شده است. مقایسه داده‌های ایزوتوپی گوگرد ذخیره مس پرداد با نواحی شمالی و مرکزی شیلی نشان‌دهنده بیشترین شباهت با کانسارهای نواحی مرکزی شیلی است. با توجه به حجم بالای سنگ‌های آتشفسانی اثوسن در نوار آتشفسانی شاهروود-سبزوار به عنوان میزبان ذخایر متعدد، این کمربرند می‌تواند می‌تواند متناسبی برای پی‌جوبی ذخایر جدید نوع ماتن باشد.

#### قدرتانی

از معاونت پژوهش و تحصیلات تكمیلی دانشگاه تبریز بدليل حمایت‌های مالی قدردانی می‌شود. نویسنده‌گان همچنین از نظرات و پیشنهادات سازنده داوران محترم مجله سپاسگزاری می‌نمایند.

#### مراجع

- [1] Lindenberg H.G., Jacobshagen V., "Post-Paleozoic geology of Taknar Zone and adjacent areas (NE IRAN, Khorasan)". Report of Geodynamic Project (Geotraverse) in Iran, 51 (1983).
- [2] Ghasemi H., Rezaeikahkhaei M., "Petrochemistry and tectonic setting of the Davarzan-Abbasabad Eocene Volcanic (DAEV) rocks, NE Iran". Mineral Petrol 109 (2015) 235-252.
- [3] Salehi L., Rasa I., Alirezaei S., Kazemimehrnia A., "The Madan Bozorg, Volcanic-hosted copper deposit, East Shahroud, an example of Manto Type copper deposits in Iran". Scientific Quarterly Journal, Geosciences, 4 (2016) 93-105.

- Traps", Journal of Asian Earth Sciences, 43 (2002) 176-192.*
- [25] Farmer G.L., "Continental basaltic rocks. Trestise on Geochchemistry", 3 (2003) 85-121.
- [26] Beattie, P., "Uranium - Thorium disequilibrium and partitioning on melting of garnet peridotite". Nature, 363 (1993) 63-65.
- [27] Hoefs, J., "Stable isotope geochemistry". Springer-Verlag, Berlin. (2004) 244.
- [28] Rollinson H.R., "Using geochemical data evaluation, presentation, interpretation", pearson-prentice Hall, London, (1993) 352.
- [29] Cisternas M.G., Hermosilla J. "The role of bitumen in strata-bound copper deposit formation in the Copiapo area, Northern Chile". Mineralium Deposita, 41 (2006) 339-355.
- [30] Wilson N.S.F., Zentilli M., Spiro B., "A sulfur, carbon, oxygen, and strontium isotope study of the volcanic-hosted El Soldado manto-type copper district, Chile: the essential role of bacteria and petroleum", Economic Geology, 98 (2003) 163-174.
- [31] Kojima S., Trista Aguilera D. Hayashi K. I., "Genetic aspects of the Manto-type copper deposits based on geochemical studies of north Chilean deposits". Resource Geology, 59 (2007) 87-98.
- [32] O'Neil J.R., Clayton R.N., Maeda T.K., "Oxygen isotope fraction in divalent metal carbonate. Journal of Chemical Physics", 51 (1969) 5547-5558.
- [33] Zhuo Y., Hu R., Xiao J., Zhao C., Huang Y., Yan J., Li J., Gao W., "Trace elements and C-O isotopes of calcite from Carlin-type gold deposits in the Youjiang Basin, SW China", constraints on ore-forming fluid compositions and sources, 113 (2019), 103067.
- [34] Zhang W.S., Wu G.G., Zhang D., Liu A.H., "Xinqiao iron deposit field in Tongling, Anhui: geologic and geochemical characteristics and genesis, Geotectonica et Metallogenica", 28 (2004) 187-193.
- [35] Sun J.G., Hu S.X., Shen K., Yao F.L., "Research on C and O isotopic geochemistry of intermediate-basic and intermediate-acid dykes in goldfields of Jiaodong peninsula". Acta Petrologica et Mineralogica, 20 (2001) 47-56.
- [13] Sanderson D.J., Nixon C.W., "The use of topology in fracture network characterization. Journal of Structural Geology", 72 (2015) 55-66.
- [14] Winchester J.A., Floyd P.A., "Geochemical discrimination of different magma series and their differentiation products using immobile elements", chemical geology, 20 (1977), 325-343.
- [15] Streckeisen A. L., "Classification and nomenclature of plutonic rocks", Geol. Rundsch, 63 (1974) 773-786.
- [16] Ross P.S., Bedard J.H., "Magmatic affinity of modern and ancient subalkaline volcanic rocks determined from trace element discrimination diagram". Canadian Journal of Earth Sciences, 46 (2009) 823-829.
- [17] Pearce J.A., Haris N.B.W., Tindle A.G., "Trace element discrimination diagrams for the tectonic interpretation of granitic rocks". Journal of Petrology, 25 (1984) 956-983.
- [18] Muller D., Groves D.I., "Potassic Igneous rocks and associated gold-copper mineralization", Earth sciences 56 (1997) 238
- [19] Maniar P.D., Piccoli P. M., "Tectonic discrimination of granitoids", G.S.A. Bulletin, 110 (1989) 635-643.
- [20] Sun S.S., McDonough W.F., "Chemical and isotope Systematics of oceanic basalts, implication for mantle composition and processes", Geological Society, London, Special Publications, 42 (1989) 313-345.
- [21] Feigenson M.D., Bloge L. L., Carr M.J., Herzberg C.T., "REE invers modeling of HSDP2 basalts: Evidence of multiple sources in the Hawaiian plume. Geochemistry", Geophysics, Geosystems, 4 (2003) 8706.
- [22] Ellam R.M., Cox, K.G., "An interpretation of Karro picrate basalts in terms of interaction between asthenospheric magmas and mantle lithosphere". Earth and planetary science Letters, 105 (1991) 330 - 342.
- [23] Kurkcuoglu B., "Geochemistry and petrogenesis of basaltic rocks from the Develidog volcanic complex, Central Anatolia, Turkey". Journal of Asian Earth Sciences, 37 (2010) 42-51.
- [24] Sheth H.C., Choudhary A.K., Cucciniello C., Bhattacharya S., Laishram R., Gurav T., "Geology, Petrochemistry, and genesis of the bimodal lavas of Osham Hill, Saurashtra, northwestern Deccan

- [40] Boric R., Holmgren C., Wilson N.S.F., Zentilli M., "The geology of the Elsoldado Manto type Cu (Ag) deposit, Central Chile". In Porter, T. M. (Ed.), Hydrothermal Iron Oxide Copper-Gold and Related Deposits: A Global Perspective, 2 (2002) 185-205.
- [41] Trista-Aguilera D., Barra F., Ruis J., Morata D., Talavera-Mendoza O., Kojima S., Ferraris F., "Re-Os isotope systematics for the Lince-Estefania deposit: constraints on the timing and source of copper mineralization in the stratabound copper deposit. Coastal Cordillera of northern chile". Miner Deposita 41 (2006) 99-105.
- [42] Haggan T., Parnel J., Cisternas M.E., "Fluid history of andesite-hosted CuS-bitumen mineralization, Copiap district, North Central Chile", J. Geoch. Exp. (2003) 631-635.
- [36] Kalender L., "Oxygen, Carbon and sulfur isotope studies in the Keban Pb-Zn deposits, eastern Turkey, An approach on the origin of hydrothermal fluids", Journal of African Earth Science, 59 (2011) 341-348.
- [37] Levresse G., Gonzalez-Partida E., Tritalla J., Campruble A., Cienfuegos-Alvarado E., Morales-Puente P., "Fluid characteristics if the word-class, carbonate-hosted Las Cuevas fluorite deposite (San Luis Potosi, Mexico)", Jurnal of geochemical Exploration, 78-79 (2003) 537-543.
- [38] Cas G., Zagorevski A., "Volcanic redbed copper mineralization in the Hinds lake area, central Newfoundland", Geological survey report, (2009) 131-146.
- [39] Kirkham R.V., "Volcanic red bed copper, Geol. Sur. of canada", Canadian mineral deposit types, 8 (1996) 241-252.